

千葉工業大学 正員 本岡誠一  
東京工業大学 正員 奥島基良

### 1. まえがき

コンクリート中に埋設されている鉄筋の位置をコンクリート表面上から比較的容易に探知する技術の開発が望まれている。

筆者らは衝撃的電磁駆動法を用いて、コンクリート表面上からコンクリート中の鉄筋の埋設位置を測定する新しい計測方法を考案し、実用化を目指して研究を進めている。

この方法は、コンクリート表面上に偏平うず巻コイルを置き、このコイルに衝撃的大電流を流して、コンクリート中に埋設されている鉄筋を電磁的に直接駆動し、鉄筋から放射される衝撃的弹性波をコンクリート表面上に設置した受波器で受信し、この弹性波の伝搬時間とコンクリート中のたて波速度とから鉄筋の存在位置を探知しようとするものである。そこで、この方法による鉄筋の位置探知の可能性について実験的検討を行ない、さらに、鉄筋から放射される弹性波の特性についても検討を行なった。その結果、この方法が非常に有望であることがわかった。

### 2. 測定装置、および鉄筋から放射される弹性波の測定

Fig. 1 に、鉄筋駆動用コイルとウレタン樹脂棒付圧縮形受波器の構造図を示す。駆動用コイルはベークライト板の上に偏平うず巻コイルが接着されている。受波器は電卓素子(PZT) 2枚を重り合せ、これをウレタン樹脂棒中に埋め込んだ構造となっている。これは電磁誘導波の持続時間と鉄筋から放射される弹性波の伝搬時間とを時間的に分離して測定するためである。

Fig. 2 に、測定装置の概要を示す。駆動用偏平うず巻コイルは埋設されている鉄筋の真上のコンクリート表面上に独立気泡入りのスパンジを敷き、その上に置いた。受波器のウレタン樹脂棒の先端はコンクリート表面上にエボキシ系樹脂で接着し、ニードルのため鉄筋の筒をかがせた。なお、ウレタン樹脂棒中の音波伝搬時間は  $118 \mu\text{sec}$  である。

Fig. 2 において、回路のスイッチ S を短絡することにより、コンデンサ C に蓄えられた電気エネルギーを瞬間に駆動コイルに加える。駆動コイルから発生した電磁束が鉄筋と顕著になると鉄筋と駆動コイルとの間に衝撃的電磁吸引力が発生する。したがって、鉄筋は瞬間にコンクリートをたたき、コンクリート中に弹性波を放射する。鉄筋から放射される弹性波をコンクリート表面上に接着した受波器で受信する。受波器の出力信号は人目リースコープで観測した。

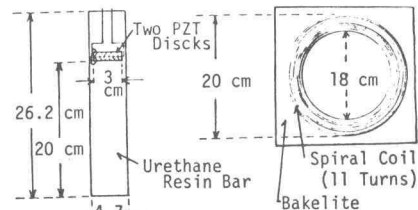


Fig. 1 Receiver and Driving Coil

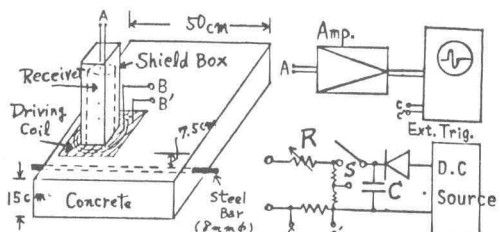


Fig. 2 Blockdiagram of Measuring Apparatus

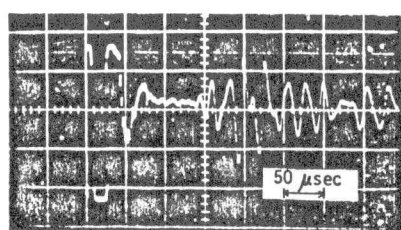


Fig. 3 Waveform of Received Output

Steel Bar : 7.5 cm Depth

Fig. 3 に、駆動電流周波数が 36 kHz で鉄筋の深さが 7.5 cm の場合の受信方式波形の一例を示す。放電開始から 136 μsec 経て弾性波が観測される。そこで、ウレタン樹脂棒中の遅延時間 (118 μsec) を考慮に入れて、コンクリート中のたて波速度を求め結果 4176 m/sec となり、この値はパルス正弦波を用い透過法で測定したたて波速度とよく一致した。したがって、衝撃的電磁駆動法によって、コンクリート中の鉄筋が駆動されてることが明らかとなつた。

### 3. 鉄筋から放射される弾性波の特性

鉄筋からコンクリート中に放射される弾性波の特性を調べ、装置の設計条件を確立するため、新たにコンクリートを作った。Table 1 に普通ポルトランドセメントを用いて作ったコンクリートの配合条件を示す。

Fig. 4 に測定試料としてのコンクリートの概要を示す。以下に示す測定は全てこの試料で行なつた。

#### 3.1 駆動エネルギーと弾性波振幅

Fig. 5 に測定装置の概要を示す。駆動用コイル (外形 15 cm, 内径 9.9 cm で直徑 3 mmΦ のホルマル線を 8 回巻いたもの) は 9 mmΦ の鉄筋の真下 4.5 cm の位置に独立充満入のスポンジを介して置いた。受波器は Fig. 1 に示したウレタン樹脂棒を用い、この受波器と鉄筋の真上 16 cm の位置にアラルダイト (樹脂系接着剤) で接着した。そこで、駆動エネルギー ( $\frac{1}{2}CV^2$ , C: コンデンサの容量, V: 電圧) を 1.25 joule から 50 joule まで変化させて、受信方式の振幅値を測定した。

同様の測定を 6 mmΦ の鉄筋の場合についても行なつた。これらの結果を Fig. 6 にまとめて示す。

図より明らかなように、30 joule 及上の駆動エネルギーに対し受信方式振幅値は飽和している。この現象は鉄筋の磁気飽和のためと考えられる。また、太さ 6 mmΦ の鉄筋では 9 mmΦ の場合に比べて、受信振幅は約 55% 程度であつた。

#### 3.2 駆動電流周波数と鉄筋から放射される弾性波周波数

Fig. 5 に示した装置用い、コンデンサ容量を 1.2 μF から 0.4 μF まで変えたことにより、駆動電流周波数を 21.9 kHz から 45.5 kHz まで変化させ、測定した弾性波周波数とを対比し、両者の関係を実験的に求めた結果、鉄筋から放射される弾性波の周波数は駆動電流周波数の 2 倍になつてることが明らかとなつた。

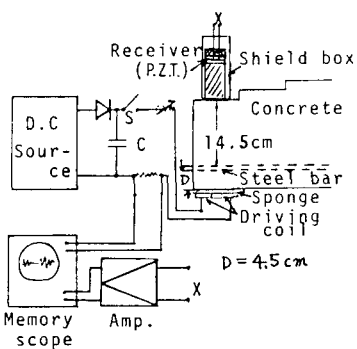


Fig. 5 Blockdiagram of Measuring apparatus

水セメント比 (%)		単位量 (kg/m³)
セメント	水	細骨材
50	384.0	192.0
		1241.8

Table 1 コンクリート配合条件\*

\* 謝辞  
コンクリートの製作に当り  
千葉工業大学教員の方々の  
御協助をいたしました。ここに  
深謝致申します。

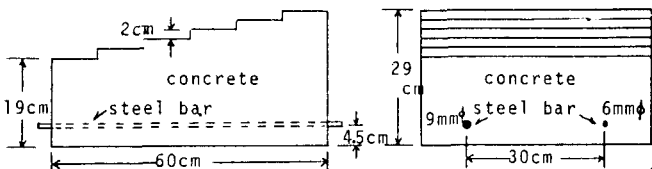


Fig. 4 Sample of concrete block

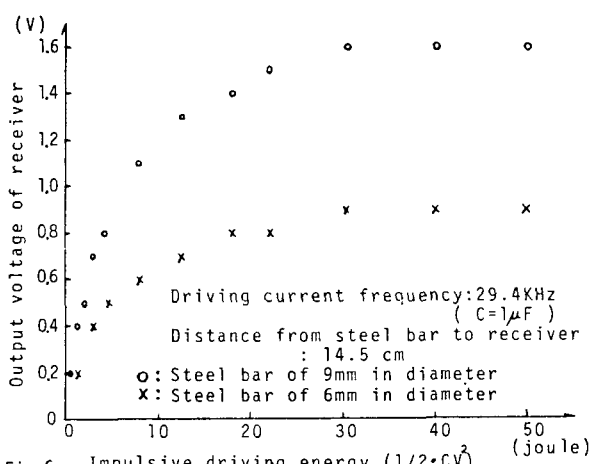


Fig. 6 Impulsive driving energy ( $1/2 \cdot CV^2$ ) (joule)  
Relation between impulsive driving energy and output voltage of receiver